SEPTEMBER — OCTOBER 2021

ВЗАИМОСВЯЗЬ ЧАСТОТЫ СИММЕТРИЧНОГО ВАЛЕНТНОГО КОЛЕБАНИЯ СВЯЗИ ИОНОВ МЕТАЛЛОВ II-IV ПЕРИОДОВ С МОЛЕКУЛАМИ ВОДЫ И ТЕРМОДИНАМИЧЕСКИХ ФУНКЦИЙ ОБРАЗОВАНИЯ АКВАИОНОВ

Г. П. Михайлов

УДК 543.4:544.18

Уфимский государственный авиационный технический университет, Уфа, Россия; e-mail: gpmihailov@mail.ru

(Поступила 1 июня 2021)

Методом теории функционала плотности в приближении M062x/6-311+G(d,p) выполнен расчет оптимальной геометрии и спектра комбинационного рассеяния света аквакомплексов металлов II-IV периодов $[M(H_2O)_6]^{n+}$ ($M^{n+}=Na^+$, Be^{2+} , Mg^{2+} , Al^{3+} , Ca^{2+} , Sc^{2+} , Ti^{3+} , V^{2+} , V^{3+} , Cr^{3+} , Mn^{2+} , Fe^{2+} , Fe^{3+} , Co^{2+} , Co^{3+} , Ni^{2+} , Cu^{2+} , Zn^{2+} , Ga^{3+} и $Li^+(m=4)$). Предложены корреляционные зависимости частоты симметричного валентного колебания связи иона металла с молекулами воды и термодинамических функций образования акваионов.

Ключевые слова: акваион, колебательный спектр, теория функционала плотности, термодинамическая функция.

Using the density functional theory method in the approximation of M062x/6-311+G(d,p), the calculation was performed of the optimal geometry and Raman spectra of metal aquacomplexes of periods II-IV $[M(H_2O)_6]^n$, where $M^{n+} = Na^+$, Be^{2+} , Mg^{2+} , Al^{3+} , Ca^{2+} , Sc^{2+} , Ti^{3+} , V^{2+} , V^{3+} , Cr^{3+} , Mn^{2+} , Fe^{2+} , Fe^{3+} , Co^{2+} , Co^{3+} , Ni^{2+} , Cu^{2+} , Zn^{2+} , Ga^{3+} , and $Li^+(m=4)$. Correlation dependences of the frequency of the symmetric stretching vibration of the bond of a metal ion with water molecules and the thermodynamic functions of the formation of aquaions are proposed.

Keywords: aquaion, vibrational spectrum, density functional theory, thermodynamic functions.

Введение. Соединения металлов в водных растворах приводят к образованию акваионов металлов, которые широко используются в различных областях катализа, производства красителей на водной основе, а также в гидрометаллургии, где важно знание физико-химических свойств ионов металлов в водной среде [1]. Спектроскопия комбинационного рассеяния света (КР) как бесконтактный метод диагностики применяется для мониторинга акваионов металлов и обладает высокой чувствительностью количественных параметров спектральных полос к типу и концентрации растворенных веществ в водной среде. Для структурно-группового анализа аквакомплексов $M(H_2O)_m^{n+}$ (m — гидратное число, n — заряд иона металла M) представляет интерес область колебаний связи M^{n+} —O, изучение которой наиболее эффективно посредством регистрации изотропного спектра КР. Частота симметричного валентного колебания связи M^{n+} —O ($\nu_s(M-O)$) определяется силовой постоянной, а следовательно, и прочностью связи. В то же время прочность связи M^{n+} —O определяется ее длиной и энергией. Поэтому должна существовать корреляция между частотой у₅(М-О)) и термодинамическими функциями (энтальпией образования ΔH_{298} , свободной энергией Гиббса ΔG_{298}) образования аквакомплексов $[M(H_2O)_6]^{n+}$. Интенсивность колебательных полос в спектре KP жидкого раствора характеризуется двумя составляющими: изотропного и анизотропного рассеяний. В случае многокомпонентной жидкой системы изотропные и анизотропные части спектров КР различных компонентов перекрываются, что создает трудности в определении ее состава. Поэтому наиболее эффекти-

RELATIONSHIP OF THE FREQUENCY OF SYMMETRIC STRETCHING VIBRATION OF THE BOND OF METAL IONS OF II-IV PERIODS WITH WATER MOLECULES AND THERMODYNAMIC FUNCTIONS OF AQUAION FORMATION

G. P. Mikhailov (Ufa State Aviation Technical University, Ufa, Russia; e-mail: gpmihailov@mail.ru)

690 МИХАЙЛОВ Г. П.

вен спектроскопический подход посредством регистрации изотропного спектра КР. Способ анализа многокомпонентной жидкой системы заключается в облучении анализируемой среды лазерным линейно поляризованным монохроматическим светом и последовательной регистрации двух спектров KP: для первого $J_{\parallel}(v)$ электрический вектор рассеянного света параллелен электрическому вектору возбуждающего лазерного излучения, для второго $J_1(v)$ — ортогонален, и затем построении изотропного спектра $J_{\text{изот}}(v) = J_{\parallel}(v) - 4/3J_{\perp}(v)$. Путем регистрации изотропного спектра КР водных растворов солей элементов II-IV периодов периодической системы [2—12], тяжелых редкоземельных металлов [13, 14] определены частоты v_s(M-O) (см. табл. 1). В работах [3—5, 8—12, 15, 16] при сравнении экспериментальных и рассчитанных частот v_s(M-O) показано, что для ионов металлов II-IV периодов наиболее характерна гексакоординированная форма аквакомплексов $[M(H_2O)_6]^{n^+}$. Для расчета оптимальной геометрии и колебательного спектра $[M(H_2O)_6]^{n+}$ использованы методы Хартри-Фока (HF), теории возмущений Мёллера—Плессета второго порядка (МР2) и теории функционала плотности DFT/B3LYP с различными базисами волновых функций. Расчет энергии образования $[M(H_2O)_6]^{n+1}$ проведен только для ограниченного числа ионов металлов Al^{3+} [4, 17], Ga^{3+} [12]. Для сравнительного анализа физико-химических свойств акваионов и установления корреляционных зависимостей представляют интерес квантово-химические расчеты широкого круга аквакомплексов $[M(H_2O)_6]^{n+}$ на одном уровне теории.

Цель настоящей работы — расчет спектра KP аквакомплексов $[M(H_2O)_6]^{n+}$ $(M^{n+}: Li^+(m=4), Be^{2+}, Na^+, Mg^{2+}, Al^{3+}, Ca^{2+}, Sc^{3+}, Ti^{3+}, V^{2+}, V^{3+}, Cr^{3+}, Mn^{2+}, Fe^{2+}, Fe^{3+}, Co^{2+}, Co^{3+}, Ni^{2+}, Cu^{2+}, Zn^{2+}, Ga^{3+})$ и выявление корреляционных зависимостей частоты $v_s(M-O)$ и термодинамических функций образования акваионов.

Методика расчетов. Полная оптимизация геометрии акваионов проведена методом теории функционала плотности в приближении M062x/6-311+G(d,p) с использованием программного пакета GAUSSIAN 09 [18]. Выбор функционала M06-2x важен для исследования нековалентных взаимодействий, так как позволяет учитывать дисперсионные и ван-дер-ваальсовы взаимодействия. Нахождение стационарной точки при оптимизации геометрии контролировалось тем, чтобы все рассчитанные колебательные частоты оказывались действительными. Для сравнения теоретических и экспериментальных частот проведен расчет спектров KP акваионов. Стандартные значения изменения энтальпии (ΔH_{298}) и свободной энергии Гиббса (ΔG_{298}) рассчитаны как разность суммы полной энтальпии или свободной энергии Гиббса для продуктов реакции и соответствующей суммы для исходных реагентов. При вычислении термодинамических функций образования аквакомплексов учитывали поправку BSSE (basis set superposition error) при фиксированной геометрии с помощью стандартного метода противовесов (counterpoise correction procedure) [18]. Для рассчитанных аквакомплексов поправка BSSE изменяется в пределах 3.05—14.06 ккал/моль. Учет BSSE приводит к уменьшению ΔH_{298} , ΔG_{298} на 1—4 и 1—7 % от значений, рассчитанных без учета BSSE.

Результаты и их обсуждение. Для большинства акваионов характерна октаэдрическая (T_h) форма комплексов $[M(H_2O)_6]^{n+}$, при которой длины шести связей M^{n+} —О одинаковы (рис. 1, a). Для комплексов $[M(H_2O)_6^{3+}]$ (M=Ti, V), для которых имеет место эффект Яна—Теллера, наблюдается понижение симметрии до C_1 [19]. Комплексы $M(H_2O)_6^{n+}$ ($M^{n+} = Co^{2+}$, Cr^{3+}) (симметрия D_{2h}) характеризуются двумя удлиненными осевыми связями M^{n+} —О и четырьмя укороченными экваториальными связями M^{n+} —О.

Для комплексов $M(H_2O)_6^{n+}(M^{n+}=V^{2+}, Fe^{3+}, Mn^{2+}, Ni^{2+}, Cu^{2+})$ симметрии D_{2h} характерны три пары связей с одинаковыми длинами связей в каждой из них (рис. 1, δ). Рассчитанные длины связи M^{n+} —О коррелируют с экспериментальными значениями [1] $d_{\rm эксп}=1.32d_{\rm pac4}-0.67$ (достоверность аппроксимации $R^2=0.873$, число пар n=16) (табл. 1). Отнесение полосы в спектре KP, соответствующей колебанию $v_s(M-O)$, проведено на основании анализа формы колебания с помощью программы Chemcraft [20], позволяющей анимировать движение атомов, расчета распределения потенциальной энергии по нормальным колебаниям [18] и степени деполяризации полосы KP. Для колебания $v_s(M-O)$ исследуемых комплексов характерна близкая к нулю степень деполяризации, т. е. для данной полосы справедливо соотношение интенсивностей $J_{II}(v) >> J_{\perp}(v)$. В то же время полосы KP колебаний, близко расположенных к $v_s(M-O)$, имеют высокую степень деполяризации (интенсивности в спектрах $J_{II}(v)$ и $J_{\perp}(v)$ сравнимы). Поэтому регистрация изотропного спектра KP $J_{\rm изот}(v) == J_{\rm II}(v) - 4/3J_{\perp}(v)$ позволяет четко выделить симметричное валентное колебание связи M^{n+} —О и определить его частоту [2—12]. Между рассчитанными и экспериментальными частотами колебания $v_s(M-O)$ существует хорошая линейная корреляция $v_{\rm эксп} = 1.26v_{\rm pac4} - 73.7$ ($R^2 = 0.94$, n = 15) (табл. 1). Проведенная оптимизация

геометрии комплексов $[M(H_2O)_6]^{n^+}$ удовлетворительно воспроизводит экспериментальные длины связи и частоты $v_s(M-O)$ и используется для расчетов термодинамических функций образования аквакомплексов. В табл. 1 представлены энтальпия ΔH_{298} и свободная энергия Гиббса ΔG_{298} образования аквакомплексов $[M(H_2O)_6]^{n^+}$. Следует отметить, что $\Delta H_{298} = -721.33$ ккал/моль $[Ga(H_2O)_6]^{3^+}$ хорошо совпадает с рассчитанным в приближении MP2/6-31g(d) значением -722.84 ккал/моль [12]. Близки также рассчитанные частоты $v_s(Ga-O)$ 467 (данная работа) и 464 см⁻¹ [12].

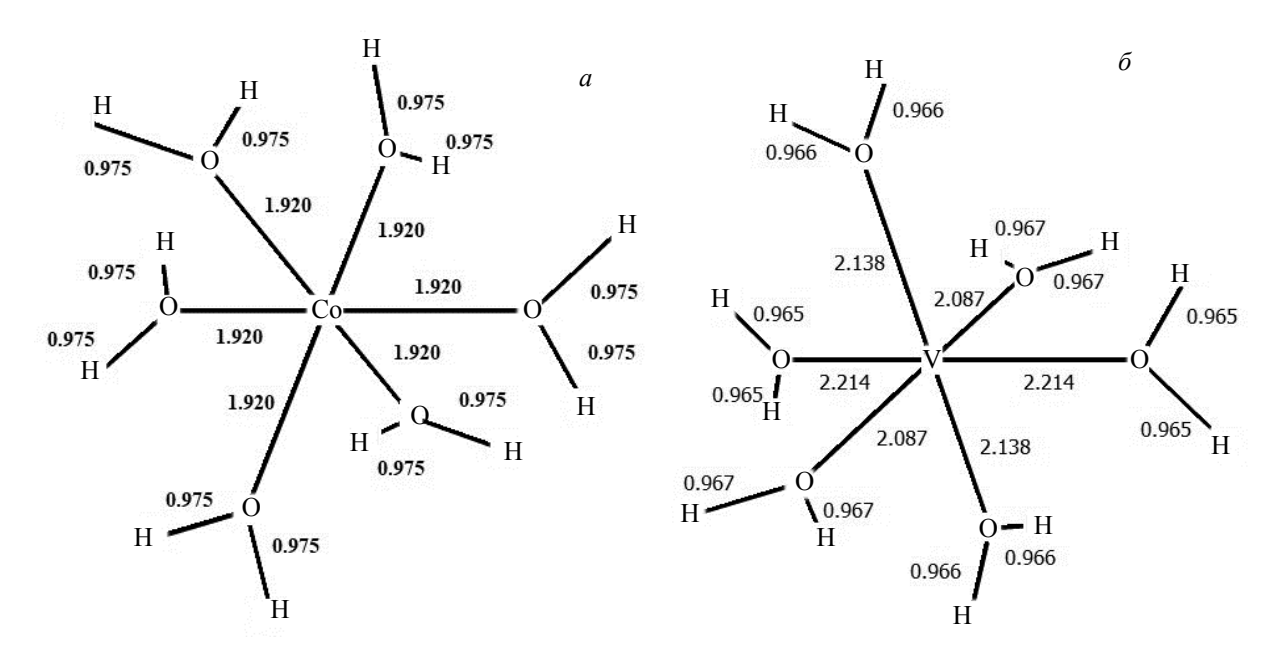


Рис. 1. Геометрия комплексов $Co(H_2O)_6^{3+}(T_h)$ (a) и $V(H_2O)_6^{2+}(D_{2h})$ (б)

Таблица 1. Рассчитанные длины связи M^{n+} —O(d) (в скобках экспериментальные значения [1]), частоты $v_s(M-O)$ (в скобках экспериментальные значения [2—12]) и термодинамические функции (ккал/моль) образования аквакомплексов

Комплекс	d, Å	$v_s(M-O)$, cm ⁻¹	$-\Delta H_{298}$	$-\Delta G_{298}$
(симметрия)	*	` ''		
$Li(H_2O)_4^+(C_1)$	1.921 (1.95)	247 (255 [2])	102.87	74.21
$Na(H_2O)_6^+(S_6)$	2.364 (2.43)	226	105.39	52.05
$Be(H_2O)_6^{2+}(T_h)$	1.830 (1.615)	407	432.79	372.61
$Mg(H_2O)_6^{2+}(T_h)$	2.067 (2.10)	341 (356 [3])	328.79	271.55
$Al(H_2O)_6^{3+}(T_h)$	1.917 (1.89)	477 (525 [4])	712.46	650.0
$Ca(H_2O)_6^{2+}(T_h)$	2.364 (2.46)	284 (283 [5])	247.53	195.88
$Sc(H_2O)_6^{3+}(T_h)$	2.140	414 (430 [8])	553.67	494.98
$Ti(H_2O)_6^{3+}(C_1)$	2.099 (2.03)	440 (517 [7])	603.71	545.60
$V(H_2O)_6^{3+}(C_1)$	2.028+2.03 (1.994)	456 (525 [7])	654.52	595.84
$V(H_2O)_6^{2+}(D_{2h})$	2.087+2.214 (2.14)	365	323.71	268.80
$Cr(H_2O)_6^{3+}(D_{2h})$	2.004+2.005 (1.95)	469 (522 [6])	706.18	645.32
$Mn(H_2O)_6^{2+}(D_{2h})$	2.029+2.092 (2.20)	383 (354 [10])	368.88	311.78
$Fe(H_2O)_6^{2+}(T_h)$	2.033 (2.120)	379 (379 [7])	379.70	321.60
$Fe(H_2O)_6^{3+}(D_{2h})$	1.908+1.967 (2.00)	491 (523 [7])	757.68	696.62
$Co(H_2O)_6^{3+}(T_h)$	1.920 (1.87)	486	782.60	720.85
$Co(H_2O)_6^{2+}(D_{2h})$	2.00+2.188 (2.08)	407	382.50	327.96
$Ni(H_2O)_6^{2+}(D_{2h})$	2.077+2.079 (2.055)	382 (396 [9])	369.48	313.19
$Cu(H_2O)_6^{2+}(D_{2h})$	2.03+2.226 (1.96+2.28)	383 (435 [10])	361.24	306.21
$Zn(H_2O)_6^{2+}(T_h)$	2.108 (2.08)	368(390 [11])	353.77	297.98
$Ga(H_2O)_6^{3+}(T_h)$	1.996 (1.96)	467 (526 [12])	711.58	650.77

692 МИХАЙЛОВ Г. П.

Корреляция между ΔH_{298} , ΔG_{298} и частотой $v_s(M-O)$ (рис. 2) хорошо описывается уравнениями:

$$-\Delta H_{298} = 74 \cdot 10^{-4} \text{ v}^2 - 2.77\text{v} + 367.45 \qquad (R^2 = 0.97, n = 20),$$

$$-\Delta G_{298} = 75 \cdot 10^{-4} \text{ v}^2 - 2.95\text{v} + 358.44 \qquad (R^2 = 0.97, n = 20).$$

Рассчитанные значения энтропийного вклада ($T\Delta S$) для температуры $T=300~{\rm K}$ при образовании $[{\rm M}({\rm H_2O})_6]^{n^+}$ изменяются в диапазоне 51.6—62.8 ккал/моль и практически не коррелируют с частотой $v_{\rm s}({\rm M-O})$, так как данный вклад определяется преимущественно строением и составом гидратной оболочки иона.

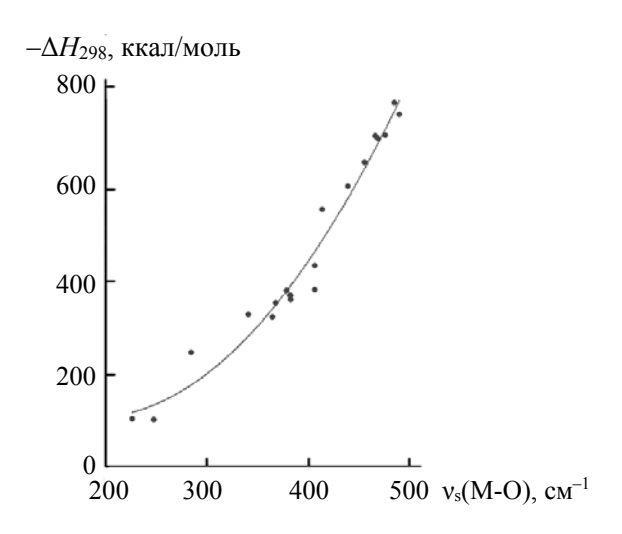


Рис. 2. Корреляционная зависимость между энтальпией образования аквакомплексов и частотой v_s(M-O)

Заключение. Полученные корреляционные зависимости могут быть применены для сравнительной оценки прочности связей ионов металлов с молекулами воды и определения их роли в формировании кристаллогидратов и гидратной оболочки ионов. Взаимосвязь частоты симметричного валентного колебания связи M^{n+} —О и термодинамических функций образования аквакомплексов $[M(H_2O)_6]^{n+}$ важна для расширения объема информации о нековалентных взаимодействиях и полученные результаты могут быть полезны для мониторинга акваионов в жидких растворах с использованием КР-спектроскопии.

- [1] **I. Persson.** Pure Appl. Chem., **82**, N 10 (2010) 1901—1917, https://doi.org/10.1351/PAC-CON-09-10-22
- [2] **W. Rudolph, H. B. Murray, C. C. Pye.** J. Phys. Chem., **99**, N 11 (1995) 3793—3797, http://dx.doi.org/10.1021/j100011a055
- [3] **C. C. Pye, W. W. Rudolph.** J. Phys. Chem. A, **102**, N 48 (1998) 9933—9943, https://doi.org/10.1021/jp982709m
- [4] **W. W. Rudolph, R. Mason, C. C. Pye.** Phys. Chem. Chem. Phys., **2**(22) (2000) 5030—5040, https://doi.org/10.1039/B003764H
- [5] W. W. Rudolph, G. Irmer. Dalton Trans., 42 (2013) 3919—3935, htts://doi.org/10.1039/c2dt31718d
- [6] R. ÅKesson, L. G. M. Petersson, M. Sandström, U. Wahlgren. J. Am. Chem. Soc., 116 (1994) 8691—8704, https://doi.org/10.1021/ja00098a032
- [7] S. P. Best, J. K. Beattie, R. S. Armstrong. J. Chem. Soc., Dalton Trans., 12 (1984) 2611—2624, https://doi.org/10.1039/DT9840002611
- [8] V. Vchirawongkwin, C. Kritayakornupong, A. Tongraar, B. M. Rode. Dalton Trans., 41 (2012) 11889—11897, https://doi.org/10.1039/C2DT31117H
- [9] **H. G. M. Edwards, A. Knowles.** J. Mol. Struct., **268** (1992) 13—22, https://doi.org/10.1016/0022-2860(92)85056-M
- [10] R. Akesson, L. G. M. Pettersson, M. Sandstroem, P. E. M. Siegbahn, U. Wangren. J. Phys. Chem., **97**, N 15 (1993) 3765—3774, https://doi.org/10.1021/j100117a023

- [11] C. C. Pye, C. R. Corbeil, W. W. Rudolph. Phys. Chem. Chem. Phys., **8** (2006) 5428—5436, https://doi.org/10.1039/B610084H
- [12] **W. W. Rudolph, C. C. Pye, G. Irmer.** J. Raman. Spectrosc., **33**, N 3 (2002) 177—190, https://doi.org/10.1002/jrs.842
- [13] W. Rudolph, G. Irmer. Molecules, 24, N 10 (2019) 1953, https://doi: 10.3390/molecules24101953
- [14] W. Rudolph, G. Irmer. Molecules, 23, N 12 (2018) 3237, https://doi: 10.3390/molecules23123237
- [15] Francesco Stellato, Matteo Calandra, Francesco D'Acapito, Emiliano De Santis, Giovanni La Penna, Giancarlo Rossi, Silvia Morante. Phys. Chem. Chem. Phys., **20** (2018) 24775—24782, https://doi.org/10.1039/C8CP04355H
- [16] **D. Z. Caralampio, J. M. Martínez, R. R. Pappalardo, E. S. Marcos.** Theor. Chem. Acc., **136** (2017) 47, https://doi.org/10.1007/s00214-017-2075-1
- [17] **Shaonan Dong, Jing Zhang, Xiaohan Yuan, Shuping Bi.** ACS Earth Space Chem., **3**, N 10 (2019) 2315—2322, https://doi.org/10.1021/acsearthspacechem.9b00174
- [18] Gaussian 09, Revision D.01, Gaussian, Inc., Wallingford CT (2013)
- [19] **B. Kallies, R. Meier.** Inorg. Chem., **40**, N 13 (2001) 3101—3112, https://doi.org/10.1021/ic001258t
- [20] Z. A. Zhurko. Chemcraft. Version 1.6 [site]. URL, www.chemcraftprog.com